

非線型 Inductance 를 包含하는 R-L-C 回路의 安定性에 關하여

論文
12-5

李亮秀*

概要

非線型磁氣鐵心을 使用한 inductance 를 그 非線型領域에서動作하게 할 때와 直列型可飽和 reactor 에 R-C 負荷를 直列로 連結하여 動作시킬 때 어떠한 動作範圍에서는 回路의 電流振幅이 不安定한 境遇가 있다.

특히 直列型可飽和 reactor 에 R-C 負荷를 連結한 境遇는 J.T. Salihi 氏 및 H.C. Bourne^{(1), (2)}氏에 依하여 그 動作現像이 說明되었다. 그러나 安定條件은 充分한 것 이 아니라고 生覺되며 이와 같은 R-L-C 直列回路는 定量的으로 解析하는데 數學的인 難點이 있어서 困難하지만 定性的인 方法 即 近似計算에 依하여 安定性問題와 그 回路動作狀態 等을 考察할 수 있다. 여기에 安定條件를 다음과 같이 計算하여 提示코져한다.

I. 回路解析

그림 1 은 直列型 可飽和 reactor 또는 非線型 inductance 를 非線型磁束鎖交數(Φ)로써 圖示한 것이고 抵抗(R) 및 靜電容量(C)는 線型이라고 한다. 磁束鎖交數(Φ)와 電流와의 關係式을

$$\Phi = B \tan^{-1} \left(\frac{i}{A} \right) \quad (1)'$$

但 B : constant, Φ : flux linkage 數

A : constant, amp, in unit, i : current, amp.
(1)' 式과 같이 表現할 수 있다면 (1)' 式을 級數로 展開하고 第三項 以下를 無視하여 얻은 $\Phi = \frac{B}{A}i - \frac{B}{3A^3}i^3$ 에 서 $\frac{B}{A} = L_o$, $\frac{B}{A^3} = L_n$ 를 각各 代入하면

$$\Phi = L_o i - \frac{1}{3} L_n i^3 \quad (1)$$

그런데 그림 1에서 回路의 方程式은

$$-\frac{d\Phi}{dt} + Ri + \frac{1}{C} \int idt = E_m \sin \omega t \quad (2)$$

(2) 式을 無次元方程式으로 變換하고 (Appendix-I)

$$\begin{aligned} \frac{A}{BC} &= \omega_c^2, \quad \frac{\omega^2 - \omega_c^2}{\omega^2} = h, \quad \frac{AR}{\omega B} = \delta \\ \frac{\omega^2}{A^2} &= \gamma, \quad \frac{AE_m}{\omega^2 B} = U_o, \quad \omega t = \tau \end{aligned} \quad \left. \right\} \quad (5)$$

(1) 및 (5) 式을 (2) 式에 代入하여

$$\ddot{q} + q = h q - \delta \dot{q} + \gamma q^2 \dot{q} + U_o \sin \tau \quad (6)$$

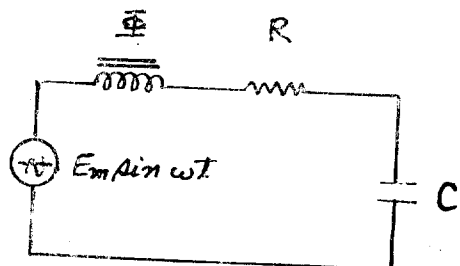


그림-1 R-L-C 回路

$$\text{但 } q = \frac{dq}{dt}, \quad \ddot{q} = \frac{d^2q}{dt^2},$$

$$\text{한편 } i = \frac{dq}{dt} = \omega \frac{dq}{d\tau} = \omega \dot{q} \text{ 且 } (6) \text{ 式과 더부터}$$

$$\left. \begin{aligned} \ddot{q} &= -q + f(q, \dot{q}, \dot{q}, \tau) \\ i &= \omega \dot{q} \end{aligned} \right\} \quad (7)$$

$$\text{但 } f(q, \dot{q}, \ddot{q}, \tau) = h q - \delta \dot{q} + \gamma q^2 \dot{q} + U_o \sin \tau \quad (10)$$

(7) 式은 位相平面(Phase plane)上에서의 動作狀態를 表示하고 있으나 解析이 困難함으로 位相平面(Phase plane)上에서 角速度 τ 로 回轉하는 振幅平面(Amplitude plane)으로 變換(Transform) 하여 (Appendix-II)

振幅(Q)과 位相(θ)의 無次元時間(τ)에 對한 變化率을 求하고 振幅과 位相이 大端히 徐徐히 變化하는 것이라면 一週期의 平均值을 求하여 (3), (4), (5), (6)

$$\left. \begin{aligned} \frac{dQ}{d\tau} &= -\frac{1}{2} \delta Q - \frac{1}{2} U_o \cos \theta = \phi(Q, \theta) \\ \frac{d\theta}{d\tau} &= \frac{1}{2} h - \frac{1}{8} \gamma Q^2 + \frac{1}{2Q} U_o \sin \theta = \psi(Q, \theta) \end{aligned} \right\} \quad (18)$$

但 θ : 位相差, Q : 電荷量의 振幅,

平衡點에서는 $\frac{dQ}{d\tau} = 0$, $\frac{d\theta}{d\tau} = 0$, 임으로 (18) 式은

* 原子力研究所 電子工學研究室

$$\left. \begin{aligned} \delta Q + U_0 \cos \theta &= 0 \\ h - \frac{1}{4} \gamma Q^2 + \frac{1}{Q} U_0 \sin \theta &= 0 \end{aligned} \right\} \quad \dots \dots \dots \quad (19)$$

Ⅰ. 安定條件

(18) 式에서 平衡點의 座標를 (Q_o, θ_o) 라고 하면
 $\phi(Q_o, \theta_o) = 0, \psi(Q_o, \theta_o) = 0$ 이며

$$\left. \begin{aligned} \frac{dQ}{d\tau} &= \phi(Q, \theta) \\ \frac{d\theta}{d\tau} &= \psi(Q, \theta) \end{aligned} \right\} \dots \quad (20)$$

에서 $Q = Q_0 + x$, $\theta = \theta_0 + y$ 로 变數變換을 하면

$$\frac{dQ}{d\tau} = \frac{dx}{d\tau} = \phi(Q_0 + x, \theta_0 + y)$$

$$\frac{d\theta}{d\tau} = \frac{dy}{d\tau} = \psi(Q_o + x, \theta_o + y)$$

上記 두 式을 Taylor's expansion theorem에 依하여

$$\frac{dx}{d\tau} = \phi(Q_o, \theta_o) + \frac{\partial \phi(Q_o, \theta_o)}{\partial Q} x + \frac{\partial \phi(Q_o, \theta_o)}{\partial \theta} y +$$

$$\frac{dy}{dt} = \psi(Q_0, \theta_0) + \frac{\partial \psi(Q_0, \theta_0)}{\partial Q} x + \frac{\partial \psi(Q_0, \theta_0)}{\partial \theta} y + \dots$$

一次以上의 항을 무시하고 $x=Q$, $y=\theta$ 로 치환하면
평형점에서 $\phi(Q_0, \theta_0)=0$, $\psi(Q_0, \theta_0)=0$ 이므로

$$\left. \begin{aligned} \frac{dQ}{d\tau} &= Q \left[\frac{\partial \phi}{\partial Q} \right]_{Q_0, \theta_0} + \theta \left[\frac{\partial \phi}{\partial \theta} \right]_{Q_0, \theta_0} \\ \frac{d\theta}{d\tau} &= Q \left[\frac{\partial \psi}{\partial Q} \right]_{Q_0, \theta_0} + \theta \left[\frac{\partial \psi}{\partial \theta} \right]_{Q_0, \theta_0} \end{aligned} \right\} \dots \quad (21)$$

故로 特性方程式⁽⁷⁾을 (21)式에서

$$\lambda^2 - \left(\left[\frac{\partial \phi}{\partial Q} \right]_{Q_0, \theta_0} + \left[\frac{\partial \psi}{\partial \theta} \right]_{Q_0, \theta_0} \right) \lambda + \begin{vmatrix} \frac{\partial \phi}{\partial Q} & \frac{\partial \phi}{\partial \theta} \\ \frac{\partial \psi}{\partial Q} & \frac{\partial \psi}{\partial \theta} \end{vmatrix}_{Q_0, \theta_0} = 0$$

上式으로 부터 安定條件은

$$b = - \left(\left[\frac{\partial \phi}{\partial Q} \right]_{Q_0, \theta_0} + \left[\frac{\partial \psi}{\partial \theta} \right]_{Q_0, \theta_0} \right) > 0 \\ q = \left| \begin{array}{cc} \frac{\partial \phi}{\partial Q} & \frac{\partial \phi}{\partial \theta} \\ \frac{\partial \psi}{\partial Q} & \frac{\partial \psi}{\partial \theta} \end{array} \right|_{Q_0, \theta_0} > 0 \quad \right\} \dots \dots \dots (22)$$

(18), (19) 및 (22)式에서 θ 를 消去하여

$$\left. \begin{aligned} p &= \delta \\ 4q &= \delta^2 + h^2 - \gamma h Q^2 + \frac{3}{16} \gamma^2 Q^4 \end{aligned} \right\} \quad (23)$$

(23)式에서 $p=\delta>0$ 이므로 $q>0$, 或은 $q<0$ 에 따라서 安定, 不安定을 判斷할 수 있다.

(1) $\delta - Q^2$ 平面

(23)式에서 $4q = \delta^2 + h^2 - \gamma h Q^2 + \frac{3}{16} \gamma^2 Q^4 = 0$ 이라 놓

으면 이 式은 鞍形點의 境界를 이루는 曲線이며

(24) 式과 같이 $\frac{4h}{3\gamma}$, $\frac{h}{\sqrt{3}}$ 를 각각縱軸, 橫軸으로

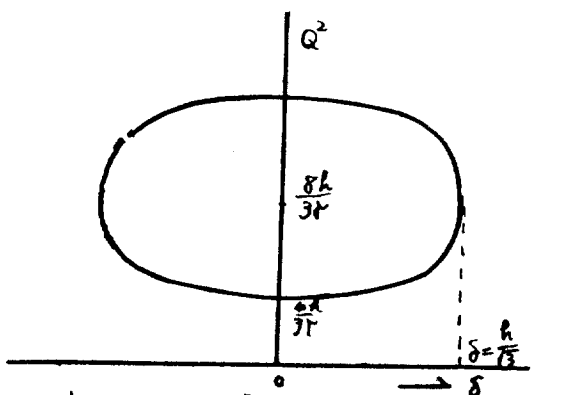
하는 楕圓이 되며 $\gamma = \frac{4}{\sqrt{3}}$ 인 경우 단은 半徑 $\frac{h}{\sqrt{3}}$ 의
 圓이 된다. 그림-2에 圖示된 바와 같이 이 楕圓上의 어
 머한 點이라도 $q=0$ 의 條件이 滿足되어 이 楕圓은 鞍形
 點과 餘他의 特異點(結節點 또는 涡狀點)들과의 境界를
 이루는 曲線이 된다. h , γ 를 parameter로 하는 이
 曲線群을 境界로 하여 内部에서는 $q < 0$ 이므로 平衡點
 (Q_0, θ_0) 是 鞍形點(Saddle point)이 되고 이 狀態는 大
 端히 不安定하며 이 曲線群外部에서는 $q > 0$ 이므로 結節
 點(Nodal point) 및 涡狀點(Spiral point)이 되는데 δ
 > 0 인 領域 即 負抵抗이 아닌 正抵抗일 때 以上의 두 特
 異點은 安定結節點 및 定渦狀點이 되어 安定하다. 負抵
 抗이 回路에 插入된 境遇, 即, $\delta < 0$ 일 때는 不安定結節
 點 및 不安定渦狀點으로 平衡點은 不安定特異點이 된
 다. 그러나 그림-2에 圖示된 바와 같이 振幅(Q)에 關係 없이 安定할 수 있는 條件은 $\delta > 0$ 인 境遇에 다음
 (25)式으로

$$\sqrt{3} \delta > h \quad \dots \dots \dots \quad (25)$$

주어진을 알 수 있다. (25)式에 (5)式의 δ , h 의 값을 대입하면

$$\sqrt{3}R > \omega \frac{B}{A} - \frac{1}{\omega C} \quad \dots \dots \dots \quad (26)$$

으로 된다. 그림-3은 (26)式에서 R 와 $\frac{B}{A}$ 와의 관계를
그리고 그에 따른 $\frac{B}{A}$ 는可饱和 reactor 의 制御電流를 增



221-2, 安定境界曲線
($\delta - Q^2$ 曲線) $h(t)$; - constant

減시킴으로써 變化시켜 얻어진 實驗値도 아울러 圖示하였다.

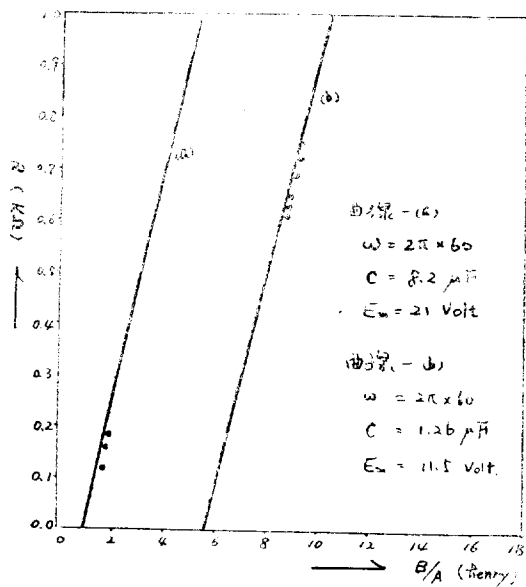


그림 3. 振幅與荷電率との關係

이 實驗値는 回路電流의 振幅이 飛躍하기 始作할때의 瞬間을 oscilloscope을 通하여 確認한 것이므로 別로正確한 것은 아니나 近以計算의 誤差範圍內에 包含되는 것으로 生覺되며 그림 3에서 보는 바와 같이 거의一致하고 있다. 그림 4는 回路電流의 振幅이 不安定領域에서 飛躍하는 것을 圖示한 것이다. 이와같은 電流振幅의 飛躍現象을 $(Q-Q_0)$ 位相平面에 옮기면 그림 5의 (A), (B), (C)에 圖示된 것과 같으며 이 그림을 通하여 位相의 變化, 振幅의 變化를 再確認할 수 있다.

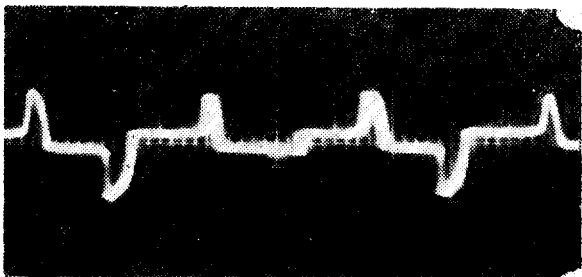
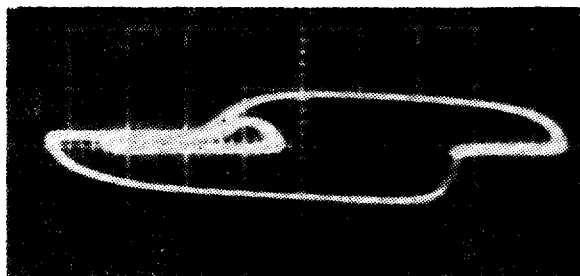
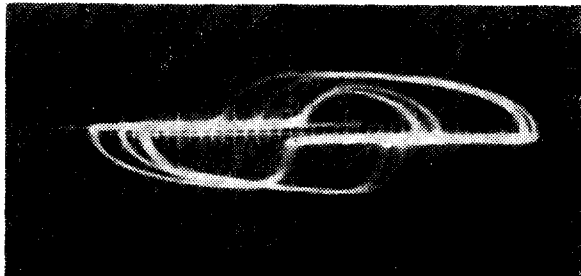


그림 4. 回路電流 振動狀態

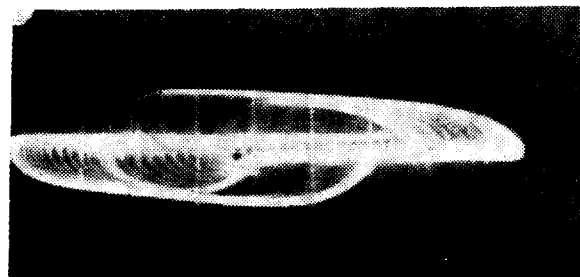
$$C = 1.26 \mu F, \quad R = 0.7 \text{ k}\Omega, \\ E_m = 11.5 \text{ volt}, \quad \omega = 2\pi \times 60, \\ \frac{B}{A} = 9.5 \text{ henry}$$



(A)



(B)



(C)

그림 5

$Q-Q_0$ 平面上의 振動狀態

(A) : 振動始作

(B) : 徐徐히 振動하는 狀態

(C) : 急振動狀態

(2) $h-Q^2$ 平面

(23)式에서

$$\left. \begin{aligned} 4q &= \partial^2 + h^2 - \gamma h Q^2 + \frac{3}{16} \gamma^2 Q^4 \\ p^2 - 4q &= -h^2 + \gamma h Q^2 - \frac{3}{16} \gamma^2 Q^4 \end{aligned} \right\} \dots \quad (27)$$

上式에 서 $\delta^2 + h^2 - \gamma h Q^2 + \frac{3}{16} \gamma^2 Q^4 = 0$ 이라하고 $h = Q^2$

평面上에서의 安定性을 考察하면 上式은

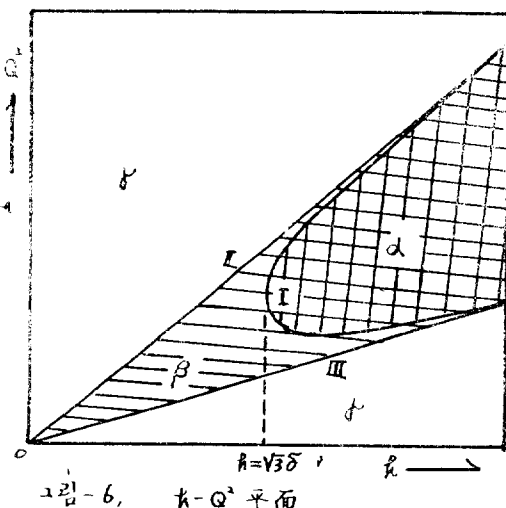
$$\left(Q^2 - \frac{8h}{3\gamma} + \frac{4}{3\gamma} \sqrt{h^2 - 3\delta^2} \right) \left(Q^2 - \frac{8h}{3\gamma} - \frac{4}{3\gamma} \sqrt{h^2 - 3\delta^2} \right) = 0 \quad \dots \dots \dots (28)$$

으로 바꾸어 쓸 수 있고 (28)式은 그림-6에서 曲線-I
과 같은 雙曲線으로 주어진다. 이 雙曲線은 $\delta=Q^2$ 平面
에서 楕圓과 같은 境界條件를 나타낸다. 한편 $p^2=4q$
 $=0$ 이라하여

$$(Q^2 - \frac{4h}{3\gamma})(Q^2 - \frac{4h}{\gamma}) = 0 \quad \dots \dots \dots \quad (29)$$

으로 바꾸어 이式은 그림-6의 直線 I, II, III으로 表示되는데 $p^2 - 4q > 0$ 이면 結節點이고 $p^2 - 4q < 0$ 이면 湍狀點이다. 그림-6에서 領域 $-\alpha$ 는 鞍形點이며 不安定領域이고 領域 $-\beta$ 는 安定結節點이며 領域 γ 는 安定湍狀點임으로 安定領域이라 할 수 있다.

以上에서 보는 바와 같이 $\delta-Q^2$ 平面에서 求한 條件
 $h < \sqrt{3} \delta$ 를 諸尊할 수 있고 $\delta-Q^2$ 平面에서는 区別하
 지 못한 結節點과 潟狀點의 区別이 이 $h-Q^2$ 平面에서
 는 可能함을 알 수 있다. 한편 (19)式에서



d: 鞍形臭(不安定)

β : 結節率(安度)

8：洞狀桌(一)

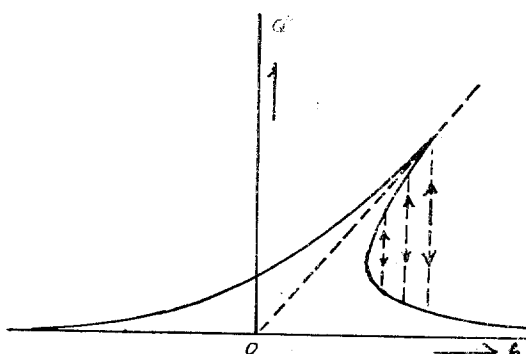
$$\cos \theta = -\frac{\delta Q}{U_0}$$

$$\sin \theta = -\frac{Q}{U_o} \left(\frac{r}{4} - Q^2 - h \right)$$

θ 를 消去하면

$$\delta^2 \left(-\frac{Q}{U_o} \right)^2 + \left(-\frac{Q}{U_o} \right)^2 \left(\frac{\gamma}{4} Q^2 - h \right)^2 = 1 \quad \dots \dots \dots (30)$$

(30) 式은共振曲線을 表示하는共振曲線式으로 그림-7에 圖示한 것과 같은 曲線이다. $h > h_1$ 의 領域에서는 振幅의 值이 否定임으로 다시 말하면 二重의 值을 갖게됨으로 이때에 飛躍現像이 發生함을 알 수 있다.



221-7 狼曲振共

根 結 論

前項에서 説明한 바와 같이 (26)式으로 주어진 安定條件은 그와 類似한 回路을 設計할 때의 材料로써 參照 할 수 있으며 非線型 inductance를 包含하는 回路를 解析할때 適用시킬 수 있다. 特히 servo-amplifier로 써 magnetic amplifier를 使用하는 境遇에도 이 安定條件를 使用할 수 있다. 그러나 電流振幅의 飛躍現像은 規則的으로 發生하는데 그 振幅의 modulation周波數을 求하지 못한 것을 遺憾으로 生覺한다.

[Appendix- I]

磁束鎖交數와 電流와의 函數關係를

으로 表示할 수 있을 때 회로 방정식을

일으로 (1)式을 (2)式에 대입하여

$$(L_o - L_n i^2) \frac{di}{dt} + Ri + \frac{1}{C} \int i dt = E_m \sin \omega t \quad \dots\dots(3)$$

(3)式에 $i = \omega \frac{dq}{d\tau}$, $\omega t = \tau$ 를 대입하면

$$L_o \omega^2 \frac{d^2q}{dt^2} + \omega R \frac{dq}{dt} + \frac{1}{C} q = E_m \sin \tau + \omega^4 L_n \cdot \left(\frac{dq}{dt} \right)^2 \cdot \frac{d^2q}{dt^2}$$

$$\frac{d^2q}{dt^2} + \frac{R}{\omega L_o} \frac{dq}{dt} + \frac{1}{\omega^2 L_o C} q = \frac{E_m}{\omega^2 L_o} \sin \tau + \frac{\omega^2 L_n}{L_o} \left(\frac{dq}{dt} \right)^2 \cdot \frac{d^2q}{dt^2} \quad \dots \dots \dots (4)$$

$\frac{dq}{d\tau} = \dot{q}$, $\frac{d^2q}{d\tau^2} = \ddot{q}$ 를 대입하면

$$\ddot{q} + q = h q - \delta \dot{q} + \gamma \dot{q}^2 \ddot{q} + U_0 \sin \tau \quad \dots \dots \dots \quad (6)$$

$$\begin{aligned} h &= \frac{\omega^2 - \omega_o^2}{\omega^2}, \quad \omega_o^2 = \frac{1}{L_o C} = \frac{A}{BC}, \\ U_o &= \frac{E_m}{\omega^2 L_o} = \frac{AE_m}{\omega^2 B}, \\ \gamma &= \frac{\omega^2 L_n}{L_o} = \frac{\omega^2}{A^2}, \quad \delta = \frac{R}{\omega L_o} = \frac{AR}{\omega B} \end{aligned} \quad \text{.....(5)}$$

[Appendix- II]

(6)式에서

$$\left. \begin{array}{l} \ddot{q} = -q + f(q, \dot{q}, \ddot{q}, \tau) \\ \dot{i} = \omega \dot{q} \end{array} \right\} \dots \dots \dots \quad (7)$$

(7)式의 近似解를 $q = Q \cos(\tau - \theta)$ 라고 假定하여

$$\left. \begin{aligned} q &= u \cos \tau + v \sin \tau \\ \frac{i}{\omega} &= -u \sin \tau + v \cos \tau \end{aligned} \right\} \dots \quad (8)$$

에 依하여 振幅平面으로 變換하면 (8)式을 微分하여

$$\frac{dp}{d\tau} = \frac{du}{d\tau} \cos \tau - u \sin \tau + \frac{dv}{d\tau} \sin \tau + \cos \tau$$

$$\frac{1}{\omega} \frac{di}{d\tau} = - \frac{du}{d\tau} \sin \tau - u \cos \tau + \frac{dv}{d\tau} \cos \tau - v \sin \tau$$

上式에 (8)式을 代入한 後에 (7)式과 比較하여 다음 式을 얻을 수 있다.

$$\left. \begin{aligned} \frac{du}{d\tau} \cos \tau + \frac{dv}{d\tau} \sin \tau &= 0 \\ -\frac{du}{d\tau} \sin \tau + \frac{dv}{d\tau} \cos \tau &= f(q, \dot{q}, \ddot{q}, \tau) \end{aligned} \right\} \dots\dots\dots(9)$$

$$\text{但 } f(q, \dot{q}, \ddot{q}, \tau) = h q - \delta \dot{q} + \gamma q^2 \ddot{q} + U_0 \sin \tau \dots \dots \dots (10)$$

(9) 式에서

$$\left. \begin{aligned} \frac{du}{d\tau} &= -f(q, \dot{q}, \ddot{q}, \tau) \sin \tau \\ \frac{dv}{d\tau} &= f(q, \dot{q}, \ddot{q}, \tau) \cos \tau \end{aligned} \right\} \dots \quad (11)$$

$$\text{그런데 } \begin{aligned} u &= Q \cos \theta \\ v &= Q \sin \theta \end{aligned} \quad \} \dots \dots \dots \quad (12)$$

(12)式에서

$$\left. \begin{array}{l} Q^2 = u^2 + v^2 \\ \theta = \tan^{-1} \left(\frac{v}{u} \right) \end{array} \right\} \dots \dots \dots \quad (13)$$

(13) 式을 微分하여

$$\left. \begin{aligned} Q \frac{dQ}{d\tau} &= u \frac{du}{d\tau} + v \frac{dv}{d\tau} \\ Q^2 \frac{d\theta}{d\tau} &= u \frac{dv}{d\tau} - v \frac{du}{d\tau} \end{aligned} \right\} \quad (14)$$

(14) 式을 (11) 式에 대입하고 整理하면

$$\left. \begin{aligned} \frac{dQ}{d\tau} &= -f(q, \dot{q}, \ddot{q}, \tau) \sin(\tau - \theta) \\ Q \frac{d\theta}{d\tau} &= f(q, \dot{q}, \ddot{q}, \tau) \cos(\tau - \theta) \end{aligned} \right\} \dots \dots \dots \quad (15)$$

여기서 $Q=Q(t)$, $\theta=\theta(t)$(16)

即, Q, θ 가 時間(t)의 函數이지만 時間에 對하여 大端히 徐徐히 變化하는 것이라고 假定하고 平均值(一周期)를 求하면

$$\left. \begin{aligned} \frac{dQ}{dt} &= -\frac{1}{2\pi} \int_0^{2\pi} f(q, \dot{q}, \ddot{q}, \tau) \sin \alpha \, d\alpha \\ \frac{d\theta}{dt} &= \frac{1}{2\pi Q} \int_0^{2\pi} f(q, \dot{q}, \ddot{q}, \tau) \cos \alpha \, d\alpha \end{aligned} \right\} \dots (17)$$

$$\text{但 } \alpha = \tau - \theta$$

(10)式 및 $q = Q \cos \alpha$ 를 (17)式에 대입하여積分하면
다음式을 얻을 수 있다.

$$\left. \begin{aligned} \frac{dQ}{dt} &= -\frac{1}{2} \dot{\theta} Q - \frac{1}{2} U_0 \cos \theta = \phi(Q, \theta) \\ \frac{d\theta}{dt} &= \frac{1}{2} h - \frac{1}{8} r Q^2 + \frac{1}{2Q} U_0 \sin \theta = \psi(Q, \theta) \end{aligned} \right\} \dots (18)$$

(1963年11月30日接受)

Reference

- (1) J.T. Salihi, "Analysis of Instability and Response of Reactor with Rectangular Hysteresis Loop Core Material in Series with Capacitor.", A.I.E.E., Trans., Vol. 75, Pt-I, July, 1956.
 - (2) H.C. Bourne, and J.T. Salihi, "Analysis of Series-connected Saturable Reactor with Capacitive Loading and Finite Control Resistance by Use of Difference Equation.", A.I.E.E., Trans., Vol. 77, pt-I, Jan., 1959.
 - (3) N.W. McLachlan, "Ordinary Nonlinear Differential Equation", Oxford, 1950, p. 87.
 - (4) W.J. Conningham, "Introduction to Nonlinear Analysis", McGraw-Hill, 1958, p-135.
 - (5) N. Minorsky, "Nonlinear Oscillations," Van Nostrand, 1962, p-375.
 - (6) S. Gumagai and. S. Kawamoto, "Multistable Circuits Using Nonlinear Reactances.", IRE. Trans. PGCT-7, No.4, Dec. 1960, p-432.
 - (7) W.J. Cunningham, (4) 외 同一, p-91.